

II-138 沈殿池効率に及ぼす循環流の影響

京都大学工学部

(正) 高松武一郎

(学) 内藤正明

(学) 井上孝也

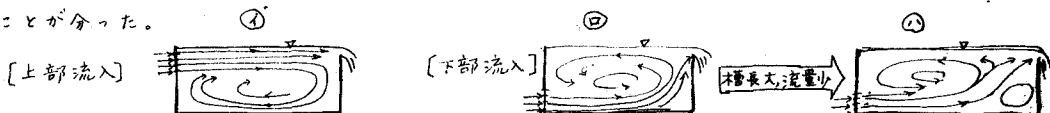
(第) 西野昭男

主 緒言

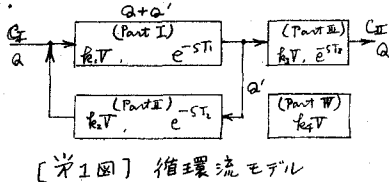
異常流れというものは特に衛生工学の分野で対象とする大規模且つ自然環境の影響下にある流れ系に不可避な現象であり、これが沈殿池除去効率に及ぼす影響の大きさはこれまでしばしば指摘されてきた。にも拘らず定量的解析のほとんどみられないのは流速を場所の関数として正確に解く流体力学の立場からすると、流れが場所的に不均一である点に困難がある。そこで本研究は矩型沈殿槽内で生ずる異常流れを簡単化したモデルで表示する方法をとった。これに基づいて近似的にではあるが全体が定量的、直感的に把握された。更にこのモデルによて計算した槽除去効率と沈降実験の結果を比較したところ十分の精度で一致する事を認めた。

2. 矩型沈殿池内の循環流に関する理論と検討

上記のよう左流れの起因となる重要なものは⁽¹⁾水域内外の密度差⁽²⁾水面の水吹流⁽³⁾流入出流性、が考えられる。こゝでは最も重要な複雑なものを除いて(1)(2)について取扱った。先づ異常流れの基本的なFlow Patternを各種条件に対して観察すると次のよう左三つの循環流とよぶものに限られることが分った。



これによって最少且つ必須のエレメントから形成した新たな表示として第1図に示す循環流モデルを考えた。



Part I, II, III はピストン流を参考、これを後の計算の都合上ラプラス変換 e^{-sT} で表示した。(下: 時定数) , Part IV は dead space である。各部の Volume ratio k_1, k_2, k_3, k_4 ; 各部の Part I, II, III, IV の滞留時間 T_1, T_2, T_3 ; 各部の Part I, II, III の滞留時間 T' ; Total Vessel Volume

$$\text{トレー率为 } G(s) \text{ に対する逆関数 } G(t) \text{ は } G(t) = \frac{C_I(t)}{C_Z(t)} = \frac{(1-r)e^{-(T_1+T_2)t}}{1-r e^{-(T_1+T_2)t}} \quad (1)$$

$$\text{滞留時間 } T \text{ は } T = (-1) \frac{dG(t)}{dt} \Big|_{t=0} = \frac{(T_1+T_2)(1-r) + r(T_1+T_2)}{1-r} \quad (2) \Rightarrow r = \frac{B}{Q+Q'} = \frac{T-T_3}{T-T_1} : \text{ 循環倍率}$$

(④のPatternに対しても第1図モデルがそのまま), (③, ④)に対しても $T_3 = 0$ とおけばよい) このように決定したモデルに基づいて沈殿除去率表示が次のように求められる。右図、これは④に対するものである。

$$\begin{cases} 0 \leq r < \frac{1}{2} \text{ のとき: } \eta = 1 - \int_0^{\frac{r}{1-r}V_0} \frac{1 - \frac{V_3}{V_0}}{1 - \frac{V_3}{V_0} + (1-r)\left(\frac{V_3}{V_0}\right)^2} f_2(u_3) du_3 - \frac{1}{1-r} \int_{\frac{r}{1-r}V_0}^{V_0} \left(1 - \frac{V_3}{V_0}\right) f_2(u_3) du_3, \\ \frac{1}{2} \leq r < 1 \text{ のとき: } \eta = 1 - \left(\frac{V_0 - \frac{V_3}{V_0}}{1 - \frac{V_3}{V_0} + (1-r)\left(\frac{V_3}{V_0}\right)^2} \right) f_2(u_3) du_3. \end{cases} \quad (3) \quad \begin{array}{l} \eta: \text{沈殿柱子移動速度} \\ V_0: \text{沈殿池 Overflow Rate} \\ f_2(u_3): \text{沈殿柱子頻度分布函数} \end{array}$$

3. 模型沈殿槽内循環流の運動実験及び沈降実験

3-1. 流動実験

(1) 流入形式と循環流の関係 ----- 流入量に対しても各モデルパラメータは第2, 3, 4 図に示すようになる。(流入等孔板の孔径数をパラメーターにとってある。括弧内は孔径数 4, 3, 2, 6 段を示す。)

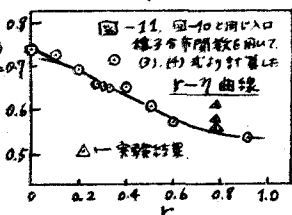
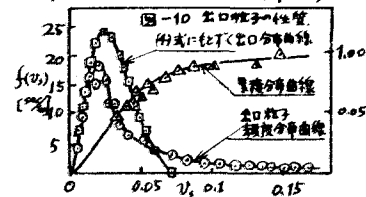
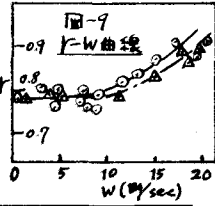
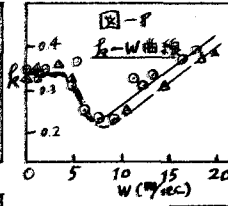
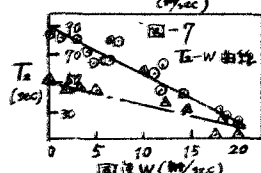
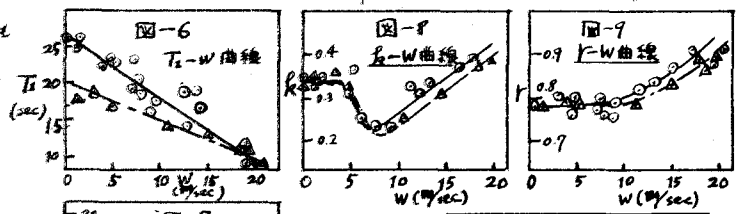
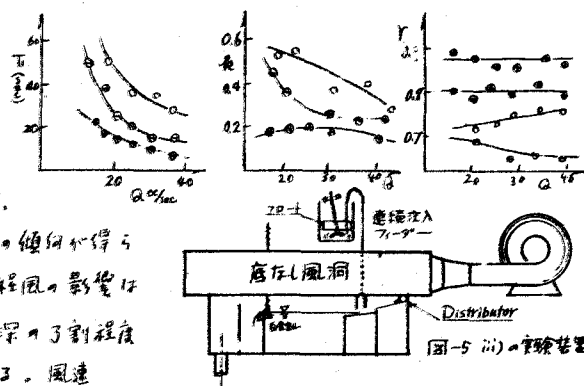
(a) Dimension と循環流の関係 増長を延ばすことによって死水域部が生ずるが、この間の定量的な関係はまだ知り得るほどのデーターが少ない。

(b) 表面風の吹送効果について

流量を一定にしておいて、図-5のように直角なし風洞を用いて、風の循環流工段に対する影響を調べた。その結果を図-6, 7, 8, 9に示す。

これより、流量が $20 \sim 30 \text{ sec}$ 下げ、大体同様の傾向を得られ、風速が増加に従つて、流量の大きさによる程度の影響は小さくなつた。風速が 6 sec では、全水深の $1/3$ 程度の幅で流量 Q の 3.5 倍の循環流が生じている。風速

の増加につれて、循環流の規模も増加し、 $W = 16 \text{ sec}$ では 0.35 m 幅に $b = Q$; $W = 19 \text{ sec}$ では 0.4 m 幅に (sec) 11.5 sec の循環流が生じて $"3"$ 。そこで图より、吹送効果は、風速が 10 sec の大きさであったから顕著な結果と言える。



3-2) 沈降実験

循環流モデルを沈降ゾーンと見て、Stokes 沈降を有する粒子の沈降効率式(初期不等式)。図-5 の装置に炭酸カルシウム懸濁液を連続注入し、入口、出口で連続サブリメーションした沈降分析の結果の例を図-10 に、他の計算値と並べ示す。更に入口粒径分布関数を用いた回転式モード効率を求め循環流モデルとの関係を図-11 に示す。これらまとめてが増すと、効率が減少する様子が分る。一方

$r=0.79$ の場合の効率実測値は 58.6% であるが、これが式で計算すると 54.7% でよく一致してゐる。一方、理想的沈降の仮定で計算すると 74.4% から循環流モデルの有意味性が認められる。

4. 結論

本実験で得られた結果を要約すれば

- ① 製型池の各種条件(流量、流速形式、Dimension)変化に対する死水域部の Flow Pattern 变化を循環流モデルによらず示出来、特に直角なし $x-y-z$ 上で定量的な把握が出来た。
- ② 流れ条件からの算出因子の一つである吹送速度 W に対して、風速が 6 sec 以上で影響が現れ始め、その影響の強度は循環流モデルと予測通り。
- ③ 提示した循環流モデルに基づいて求めた沈降効率は、循環流を無視して求めた値よりは $5\% \sim 10\%$ 実験値と一致する。